

## การวิเคราะห์กระบวนการออบแห้งในวัสดุพูน

### (II การพัฒนาแบบจำลองทางคณิตศาสตร์สำหรับวิเคราะห์ การถ่ายเทความร้อนและมวลสารในวัสดุพูน)

### The Analysis of Drying Process in Porous Media

### (II Development of Mathematical Model for Analysis of Heat and Mass Transfer in Porous Media)

ผดุงศักดิ์ รัตนเดช

ภาควิชาวิศวกรรมเครื่องกล คณะวิศวกรรมศาสตร์

มหาวิทยาลัยธรรมศาสตร์ ศูนย์รังสิต คลองหลวง ปทุมธานี 12121

โทร 02 5643001-9 ต่อ 3153 email: ratphadu@engr.tu.ac.th

#### บทคัดย่อ

บทความวิจัยนี้จะต่อเนื่องจากบทความวิจัยฉบับแรก (ผดุงศักดิ์ รัตนเดช[1]) โดยเพิ่มเติมจะนำเสนอรายงานการวิจัยของกระบวนการ  
การถ่ายเทความร้อนและมวลสารที่เกิดขึ้นในระหว่างกระบวนการออบแห้งในวัสดุพูนที่ได้รับการพัฒนาโดยใช้เทคนิคปริมาตรเฉลี่ย (volume average technique) ผลที่  
คำนวณได้จากการเบี่ยงเบี้ยนเชิงตัวเลขที่เรียกว่าข้อมูลต่างๆ จะทำการเปรียบเทียบกับผลที่ได้จากการทดลองเพื่อยืนยันความถูกต้องและ  
ประสิทธิภาพของแบบจำลองทางคณิตศาสตร์ที่ได้พัฒนาขึ้น ผลจากการศึกษาพบว่าแบบจำลองทางคณิตศาสตร์สามารถใช้อธิบายและ  
วิเคราะห์กระบวนการออบแห้งในวัสดุพูนได้เป็นอย่างดี และสามารถนำไปใช้ในการออกแบบระบบจริงในทางปฏิบัตินอก  
เหนือจากนี้บทความวิจัยฉบับนี้ได้เสนอรายงานวิจัยที่เด่นๆเกี่ยวกับการวิเคราะห์การถ่ายเทความร้อนและมวลสารในกระบวนการออบแห้ง  
ที่อาจเป็นประโยชน์ต่อผู้ที่สนใจศึกษาวิจัยเกี่ยวกับกระบวนการออบแห้งในวัสดุพูนดังที่ได้แสดงไว้ในเอกสารอ้างอิง ([1] - [27]) ในตอน  
ท้ายของบทความวิจัย

#### ABSTRACT

This paper is developed that extends a previous paper (ผดุงศักดิ์ รัตนเดช[1]) based explanation of fundamental drying phenomena in porous media. In this paper the starting point is the reviews of research paper in drying process for the several years. From a general theory of drying porous media, we have constructed a fully coupled model that consists a set of coupled volume average for transport equations. Attention is focused on the verification of numerical solution at several conditions. This is achieved via comparisons with experimental data for conventional drying of porous media. From this study, the capability of the mathematical model to correctly handle the field variations at the interfaces between materials of different hydrodynamic properties was shown. With further quantitative validation of the mathematical model, it is clear that the model can be used as a real tool

for investigating in detail this particular convective drying of porous material at a fundamental level. Furthermore, the significant papers for several decades in drying porous media are also presented in reference section.

## 1. บทนำ

โดยทั่วไปการวิเคราะห์การไหลและการถ่ายเทความร้อนจะอยู่ในที่สุดของสมการส่งถ่าย (transport equation) ซึ่งเป็นผลลัพธ์มาจากการสมดุลเชิงอนุพันธ์ ในการคำนวณพูดคิ้วรวมของกระบวนการ เช่น อัตราการไหล หรือ ฟลักช์ความร้อน จะต้องอาศัยข้อมูลจากสิ่งแวดล้อมหรือเงื่อนไขขอบเขตของระบบมาช่วยประกอบในการคำนวณ

ผู้มีอิทธิพลในทางคณิตศาสตร์ที่ชั้นชื่อ เช่น วัสดุพูน สมการที่ใช้ในการวิเคราะห์ ยังคงต้องอาศัยสมการเฉพาะ ตำแหน่งหรือเชิงจุลภาคสำหรับอัตราพุทธิกรรมการไหลภายใน ซึ่งต่างกันหรืออุปทาน อย่างไรก็ตามเนื่องจากวัสดุพูนมีรูปร่างซึ่งเรขาคณิตของพื้นผิวภายในที่ประกอบจากส่วนโคนข่องอนุภาคของเกลิงที่ชั้นชื่อมาก ซึ่งผิดต่างกันนี้จะหักมุมโดยเน้นของของไหลภายในวัสดุพูน จากความชั้นชื่อของประกายการณ์ทางกายภาพภายในวัสดุพูน ทำให้การคาดคะUTOบหัวใจวิเคราะห์ทางความเร็วและอุณหภูมิซึ่งเป็นไปได้ยาก เพื่อที่จะทราบความยุ่งยากดังกล่าว ประกายการณ์ทางกายภาพในวัสดุพูนจะมีมากจะอัตราภายในรูปสมการเชิงมหาภาค (macroscopic Equations) ซึ่งเป็นจริงก็ต่อเมื่อได้มีนต์พิจารณาถือเป็นบริมาตรเรียงและลี่ที่ประกอบมาจากพูนหลายๆอัน ซึ่งรากฐานสมการนี้ก็ทำได้มาจากการเชิงจุลภาคโดยผ่านเทคนิคปริมาตรเฉลี่ย (volume average technique) (Whitaker [2], [3] และ Ratanadecho et al. [4]) โดยที่สมการดังกล่าวจะสามารถใช้ได้จริงสำหรับค่าเฉลี่ยของปริมาณเชิงจุลภาคต่างๆ ปริมาณต่างๆที่พบกันบ่อยในการศึกษาเกี่ยวกับวัสดุพูน อาทิ เช่น Porosity,  $\epsilon$  และความเร็วที่ไหลผ่านพูน,  $U$  ซึ่งปริมาณเหล่านี้ถือว่าเป็นค่าเฉลี่ยเท่านั้น

สำหรับสมการที่ใช้ในการอัตราพุทธิกรรมการถ่ายเทความร้อนและมวลสารในวัสดุพูน เคยเสนอไว้โดย Philip และ Devries [5] ในปี ค.ศ. 1951 และในช่วงเวลาเดียวกันโดย Luikov [6] หลังจากนั้นก็มีนักวิจัยหลายคน ([7] - [10]) ได้พัฒนาที่มาของสมการสมดุลเชิงมหาภาคในการถ่ายเทความร้อน

และมวลสารในกระบวนการอบแห้งโดยอาศัยวิธีปริมาตรเฉลี่ย เช่นกัน

วัตถุประสงค์บทความวิจัยฉบับนี้เพื่อนำเสนอแบบจำลองเชิงทฤษฎีที่เกี่ยวข้องกับการถ่ายเทความร้อนและมวลสารเพื่อใช้ อธิบายและวิเคราะห์กระบวนการอบแห้งในวัสดุพูน โดยเริ่มต้นจากการนำเสนอบรรบแบบจำลองทางคณิตศาสตร์ และการวิเคราะห์หัวใจวิจัยที่เกี่ยวข้องกับกระบวนการอบแห้งภายใต้สภาวะภายนอกคงที่ จากนั้นจะเป็นนำด้วยงานวิจัยเด่นๆที่เคยได้ตีพิมพ์ในช่วงที่ผ่านมาซึ่งมีการเบริร์ยที่เกี่ยวกับกระบวนการอบแห้งในวัสดุพูน เชิงทฤษฎีเพื่อทำให้ผู้อ่านได้เห็นถึงภาพรวมของการวิจัยในศาสตร์การถ่ายเทความร้อนและมวลสารในกระบวนการอบแห้งวัสดุพูน

สำหรับรายงานวิจัยที่เด่นๆเกี่ยวกับการวิเคราะห์การถ่ายเทความร้อนและมวลสารในกระบวนการอบแห้งที่อาจจะเป็นประโยชน์ต่อผู้ที่จะศึกษาเกี่ยวกับกระบวนการอบแห้งในวัสดุพูนได้แสดงไว้ในเอกสารอ้างอิง ([11] - [27]) ในตอนท้ายของบทความวิจัยฉบับนี้

## 2. แบบจำลองทางคณิตศาสตร์ของกระบวนการอบแห้ง

สำหรับสมการสมดุลนี้ของมวลและพลังงานเชิงมหาภาคที่ครอบคลุมประกายการณ์ที่พิจารณาสามารถแสดงได้ดังนี้ (Ratanadecho et al. [25])

## 3. สมการสมดุลเชิงมวล

- สถานะของเหลว

$$\frac{\partial}{\partial t} (\rho_0 x_l) + \nabla \cdot (\rho_l \vec{u}_l) = -m \quad (1a)$$

- สถานะก๊าซ

$$\frac{\partial}{\partial t} (\rho_0 x_g) + \nabla \cdot (\rho_g \vec{u}_g) = m \quad (1b)$$

- สถานะไอ

$$\frac{\partial}{\partial t} (\rho_0 x_v) + \nabla \cdot (\rho_v \vec{u}_v + \vec{J}_v) = m \quad (1c)$$

- สถานะอากาศ

$$\frac{\partial}{\partial t} (\rho_0 x_a) + \nabla \cdot (\rho_a \vec{u}_g - \vec{J}_v) = 0 \quad (1d)$$

ในสมการเหล่านี้ สัญลักษณ์

$t$  คือ เวลา

$\rho_i$  คือ ความหนาแน่นของสารแต่ละสถานะ

$\vec{u}_i$  คือ ความเร็วเฉลี่ยเชิงมวล

$\vec{J}_v$  คือ พลักซ์ความหนาแน่นของการกระจายตัวเชิงมวล (diffusion mass flux)

$m$  คือ อัตราการระเหยหรือการกลับตัวภายในรูพุรุน

ส่วนตัวห้อยท้าย  $i = l, v, g, a, s$  หมายถึง สถานะของ

ของเหลว ไอ ก๊าซ อากาศ และของแข็งตามลำดับ

สัดส่วนเชิงมวล (mass content) ของสารแต่ละสถานะ  $x_l$  และ  $x_g$  จะสัมพันธ์กับสัดส่วนเชิงปริมาตร (volumic content)  $\theta_l$  และ  $\theta_g$  หรือดีกรีความอิ่มตัว  $\omega$ , และ  $s_g$  ดังแสดงข้างล่างนี้

$$\varepsilon s_l = \theta_l = \frac{\rho_0}{\rho_l} x_l; \varepsilon s_g = \theta_g = \frac{\rho_0}{\rho_g} x_g \quad (2)$$

เมื่อ  $\rho_0 = \rho_l \theta_s$  คือความหนาแน่นของวัสดุพุรุนที่แห้ง และ  $\varepsilon$  คือค่าความพรุน (porosity)

สมการสมดุลพลังงาน

$$(\rho C)^* \frac{\partial T}{\partial t} + (\rho_l C_{pl} \vec{u}_l + \rho_g C_{pg} \vec{u}_g) \cdot \nabla T = -\nabla \cdot \vec{q} - \Delta h_v m + Q_g \quad (3)$$

ในที่นี่  $(\rho C)^* = \rho_0 C_{ps} + \rho_l x_l C_{pl} + \rho_g x_g C_{pg}$  คือค่าความจุความร้อนเชิงปริมาตรเฉลี่ยของวัสดุพุรุน

$T$  คือ อุณหภูมิ

$C_{pl}$  คือ ค่าความจุความร้อนจำเพาะของสารแต่ละสถานะ

$\vec{q}$  คือ ค่าความหนาแน่นของพลักซ์ความร้อน

$\Delta h_v$  คือ ค่าอนุหาลปั๊บของการระเหย

$Q_g$  คือ ค่าอัตราความร้อนที่ผลิตขึ้นภายในต่อหน่วยปริมาตร ในสมการสมดุลแต่ละสมการร้าบบันนี้ประกอบด้วยเทอมต่างๆ ซึ่งสามารถอธิบายในรายละเอียดได้ดังนี้

- เทอมแรก หมายถึง อัตราการเปลี่ยนแปลงต่อเวลา ของมวลหรือพลังงาน

- เทอมที่สอง หมายถึง การการพาเชิงมวลหรือการส่งถ่ายพลังงาน

- เทอมที่สาม หมายถึง การแพร่กระจายเชิงมวล หรือ การถ่ายเทพลังงาน

- เทอมที่สี่ หมายถึง แหล่งสะสมมวลสารหรือพลังงาน อันเนื่องจากกระบวนการระเหยตัวหรือกลั่นตัว เพื่อให้ได้ช่องสมการที่สมบูรณ์เพื่อวิเคราะห์และคำนวณกระบวนการอบแห้ง ในวัสดุพุรุน จะต้องทำการรวมระบบสมการ (1) และ (3) เข้าด้วยกันโดยผ่านความสัมพันธ์ของข้อกำหนดต่างๆ ดังนี้

1. กฎข้อต่างๆ ที่เกี่ยวข้องกับพลักซ์ความหนาแน่นเชิงมวล เช่น

- ความเร็วเฉลี่ยเชิงมวล (average mass velocities) ของสารสถานะต่างๆ;  $\vec{u}_l$  และ  $\vec{u}_g$

- พลักซ์ความหนาแน่นของการกระจายตัวเชิงมวล (diffusion mass flux density) ในของเหลวสถานะก๊าซ;  $\vec{J}_v$  และ

- พลักซ์ความหนาแน่นของการแพร่กระจายตัวของความร้อน (diffusion heat flux density) ภายในวัสดุพุรุน;  $\vec{q}$

2. กฎของสภาพ (state law) สำหรับสารสถานะต่างๆ และ

3. สมการเสริมต่างๆ (complementary equations) ที่ครอบคลุมถึงสภาวะสมดุลในแต่ละสถานะ

จากทั้งหมดที่กล่าวมาข้างต้นจะต้องเกี่ยวข้องกับสมการต่างๆ ดังต่อไปนี้ กฎของ ดาร์ซี (Darcy's Law)

$$\vec{u}_l = -\frac{K_l}{\mu_l} [\nabla p_l - \rho_l \vec{g}] \quad (4)$$

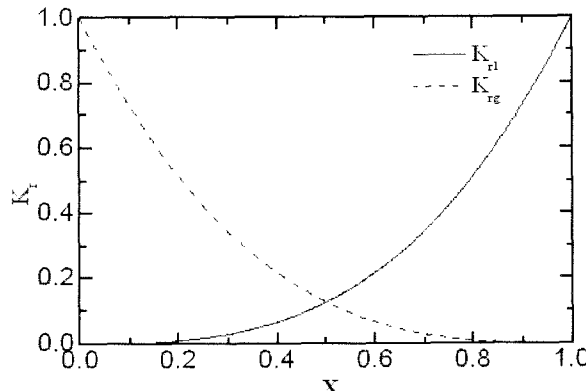
$$\vec{u}_g = -\frac{K_g}{\mu_g} [\nabla p_g - \rho_g \vec{g}] \quad (5)$$

สมการเหล่านี้จะใช้ได้สำหรับของเหลวที่มีลักษณะ นิวตัน เมื่อยังอัดตัวไม่ได้ (Newtonian incompressible) และไม่ผสมกันในระหว่างสถานะ (immiscible) และผลของความเหลี่ยมและความหนืดไม่คำนึงถึง สำหรับ  $K_l$  และ  $K_g$  คือค่าประสิทธิภาพ

ในการซึมผ่านของเหลว (effective liquid phase permeability) และค่าประสิทธิผลในการซึมผ่านของก๊าซ (effective gas phase permeability) ตามลำดับ

เพื่อสอดคล้องในการวิเคราะห์เชิงคณิต  $K_l$  และ  $K_g$  มักจะแสดงในรูปต่อไปนี้ กล่าวคือ  $K_l = KK_r$  และ  $K_g = KK_{rg}$  เมื่อ  $K$  เป็นค่าการซึมผ่านสัมบูรณ์ (intrinsic permeability) และ  $K_r(x)$  กับ  $K_{rg}(x)$  เป็นค่าซึมผ่านสัมพัทธ์ (relative permeability) ของของเหลว และก๊าซตามลำดับ ซึ่งค่านี้จะเปลี่ยนจาก 0 ถึง 1 ดังแสดง

ในรูปที่ [1] โดยปกติค่า  $K_l$  และ  $K_g$  ยังขึ้นอยู่กับลักษณะ การเรียงตัวของโครงสร้างวัสดุพื้นเมือง และสีน้ำเงินอยู่กับปริมาณของ ไฮโลที่อยู่ในรูพื้นด้วย เช่นกันมันยังขึ้นอยู่กับโครงสร้างตั้งเดิม ของวัสดุพื้นก่อนที่จะผ่านกระบวนการอบแห้งหรือทำความร้อน โดยปกติในการวิเคราะห์กระบวนการอบแห้งจะพิจารณาให้  $K_l$  และ  $K_g$  เป็นพังค์ชันของความชื้นและแปรเปลี่ยนไปกับค่า เวลา ปกติค่า  $K_l$  และ  $K_g$  ของวัสดุแต่ละชนิด ปกติจะได้มา จากแบบจำลองทางคณิตศาสตร์ หรือจากการทดลองจริงในห้องปฏิบัติการ



รูปที่ 1 ความสัมพันธ์ระหว่างค่าซึมผ่านสัมพัทธ์กับความชื้นในวัสดุพื้น (Ratanadecho et al. [25])

กฎของการแพร่กระจาย (diffusion law) ในระดับมหาภาค

กฎของ Fick (Fick's law) สำหรับการแพร่กระจายของไอน้ำ

$$\vec{J}_v = -\rho_g D_v \nabla \left( \frac{\rho_v}{\rho_g} \right) \quad (6)$$

กฎของ Fourier (Fourier's law) สำหรับการกระจายตัวของความร้อนโดยการนำ

$$\vec{q} = -\lambda \cdot \nabla T \quad (7)$$

ในการใช้กฎของ Fick สำหรับหาผลลัพธ์ความหนาแน่น ซึ่งมาคล่องไว้ในของไฮโลสถานะก๊าซถือว่าเป็นค่าประมาณ และใช้ได้สำหรับสถานะริเวณที่ไม่ลักษณะ continuous (เลี้นทาง

อิสระของโมเลกุลเฉลี่ย (mean molecular free path) มีขนาดเล็กมากเมื่อเทียบกับเลี้นผ่านคุณย์กลางของรูพื้น) โดยทั้งนี้ค่าการกระจายเชิงอุณหภูมิและการกระจายเชิงความดันไม่นำมาคำนึงถึง ที่กล่าวมาเนื่องจากกรณีที่ว่าไปของกระบวนการอบแห้งในวัสดุพื้นที่มีขนาดเลี้นผ่านคุณย์กลางของรูพื้นมีค่ามากกว่า  $10^{-7} \text{ m}$  อย่างไรก็ตามเมื่ออันตราริยะระหว่างไฮโลในสถานะก๊าซและโครงสร้างของอนุภาคนอกซึ่ง (solid matrix) มีความสัมภัยเป็นพิเศษโดยเฉพาะที่เมื่อ  $d < 10^{-7} \text{ m}$  และ  $p < 10^3 \text{ Pa}$  กรณีนี้ความเร็วลีนไอลชิงโมเลกุล (slip molecular velocity) จะต้องนำมานำมาคำนึงถึงในการวิเคราะห์เกี่ยวกับการไฮโลในลักษณะเป็นกลุ่มก้อน (bulk flow) และการไฮโลในลักษณะแพร่กระจาย (diffusion flow) ในบางกรณีค่าการซึมผ่านตัวสุด (intrinsic permeability) ของของไฮโลสถานะก๊าซจะต้องมีการตัดแปลง

และผลของ Knudsen (Knudsen effect) จะต้องนำมาคำนึงในการการแพร่กระจายของ Fick (Fick diffusion)

สำหรับค่าสัมประสิทธิ์ D ที่ปรากฏอยู่ในสมการของ Fick เรายังคงไว้ค่าสัมประสิทธิ์ของการแพร่กระจาย ซึ่งมวลของไอน้ำที่ผสมอยู่กับอากาศในวัสดุพูน ซึ่งค่านี้จะขึ้นอยู่กับลักษณะการเรียงตัวของโครงสร้างวัสดุพูนที่มีความซึ้งอยู่ ซึ่งค่านี้ส่วนใหญ่ได้จากการทดลองในห้องปฏิบัติการ

พิจารณาในสมการของฟลักซ์ความหนาแน่นเชิงความร้อน (heat flux density) λ คือค่าการนำความร้อนประสิทธิ์ผลซึ่งค่านี้ขึ้นอยู่กับค่าการนำความร้อนของสารแต่ละสถานะ ความซึ้งที่มีอยู่ และคุณลักษณะทางโครงสร้างของตัววัสดุพูนเอง ค่าการนำความร้อนประสิทธิ์ผลนี้ส่วนใหญ่ได้มาจากการข้อมูลจากการทดลองในห้องปฏิบัติการ สมการสภาวะ (State laws)

ในการวิเคราะห์การถ่ายเทความร้อนและการถ่ายเทมวลสารในวัสดุพูนจะต้องมีสารที่มีสถานะเป็นก๊าซซึ่งเป็นลักษณะของสารที่ไม่เหลวและอากาศภายในรูปแบบซึ่งก๊าซเหล่านี้จะสมมุติให้เป็นก๊าซในอุดมคติทั้งนี้เพื่อความสะดวกในการวิเคราะห์ โดยที่ความหนาแน่นส่วนย่อยๆสามารถคำนวณได้จากสมการสภาวะและจะให้นิยามสำหรับความหนาแน่นรวมของก๊าซเป็น  $\rho_g$  และความร้อนเฉลี่ยเชิงมวลของก๊าซเป็น  $\bar{u}_g$

$$\text{เมื่อ } p_i = \rho_i R_i T \quad \rho_g = \sum_i \rho_i \quad (8)$$

ในทำนองเดียวกัน

$$P = \sum_i p_i \quad \rho_g \bar{u}_g = \sum_i \rho_i \bar{u}_i \quad (9)$$

$$\text{เมื่อ } i = a, v; \quad R_i = R / M_i$$

สมการความสัมพันธ์เสริมอีก (Complementary relation) เมื่อของไหลสองชนิดที่ไม่ผสมกันอยู่ภายใต้สภาวะสมดุลในโครงสร้างวัสดุพูน แรงตึงผิวจะทำให้เกิดความไม่ต่อเนื่องกันของความดันในระหว่างของไหลทั้งสองสถานะนี้เมื่อค่านี้ดังอธิบายในหัวข้อที่ผ่านมา ซึ่งเราเรียกว่าความดันนื้ว ความดันแคนบีลาร์

$p_c$  โดยความดันแคนบีลาร์นี้จะสัมพันธ์กับความซึ้งหรือความอิ่มตัวของน้ำและอุณหภูมิตั้งแสดงได้เป็นสมการดังนี้

$$p_c(x_i, T) = p(x_i, T) - p_i(x_i, T) \quad (10)$$

เมื่อในช่วงค่าซึ่งผ่านสัมพันธ์ ค่าความดันแคนบีลาร์นี้จะขึ้นอยู่กับลักษณะสภาวะของการบวนการเป็นสำคัญ ในการวิเคราะห์กระบวนการอบแห้ง เนื่องจากเราพิจารณาให้ระบบอยู่ภายใต้การสมดุลทางเทอร์โมไดโนมิกซ์พารามิเตอร์ต่างๆที่เกี่ยวข้องกับกระบวนการสามารถแสดงได้ดังนี้ ความดันย่อยของไอน้ำจะเกี่ยวข้องกับความดันแคนบีลาร์ ซึ่งสามารถเขียนให้อยู่ในรูปสมการโดยสมการความสัมพันธ์ของ Kelvin (Kelvin's relation)

$$p_v(x_i, T) = p_{vs}(T) \exp\left(-\frac{p_c}{\rho_i R_v T}\right) \quad (11)$$

- ค่าเอนกประสงค์ในสภาพสมดุลสามารถแสดงอยู่ในรูปสมการ Clausius-Clapeyron

$$\Delta h_v = -R_v \frac{d(\log(p_v / p_{vs}))}{d(1/T)} \quad (12)$$

$$\text{เมื่อ } R_v = \frac{R}{M_v}$$

สำหรับคุณสมบัติทางกายภาพอื่นๆที่เกี่ยวข้องในกระบวนการวิเคราะห์ สามารถแสดงในรูปความสัมพันธ์กับพารามิเตอร์อื่นๆ ดังนี้

$$\mu_i(T); \mu_g(T); C_{pi}(T); \Delta h_v(T, x_i) \quad (13)$$

เมื่อทำการโยงความสัมพันธ์ระหว่างสมการสมดุลหลัก (1) และ (3) กับสมการย่อยที่เกี่ยวข้อง (4)-(13) เราจะได้สมการอนุพันธ์ย่อยที่ไม่ใช่เส้นรวมทั้งสิ้น 3 สมการ โดยในที่นี้จะเลือกให้อุณหภูมิ  $T$  ความซึ้งหรือดีกรีความอิ่มตัว  $s$  และความดันรวม  $P_g$  คือว่าเป็นตัวแปรอิสระของระบบที่พิจารณา ดังแสดงในสมการเต็มรูปแบบดังนี้

สมการส่งถ่ายมวลความชื้น (Moisture mass transport equation)

$$\frac{\partial x_l}{\partial t} + \alpha \frac{\partial x_l}{\partial t} + \beta \frac{\partial T}{\partial t} = \nabla \cdot (D_x \cdot \nabla x_l + D_T \cdot \nabla T + D_p \cdot \nabla p + D_g \cdot \nabla z) \quad (14)$$

(a)

(b)

(c)

(d)

(e)

สมการส่งถ่ายพลังงาน (Thermal energy transport equation)

$$(\rho C)^* \frac{\partial T}{\partial t} = \nabla \cdot (\lambda \cdot \nabla T) + \rho_l C_{pl} (D_{xl} \cdot \nabla x_l + D_{Tl} \cdot \nabla T + D_{pl} \cdot \nabla p + D_g \cdot \nabla z) \cdot \nabla T +$$

(f)

$$\rho_g C_{pg} (D_{pg} \cdot \nabla p) \cdot \nabla T + \rho_l \Delta h_v \left( \nabla \cdot (D_{xv} \cdot \nabla x_l + D_{Tv} \cdot \nabla T + D_{pv} \cdot \nabla p) - \alpha \frac{\partial x_l}{\partial t} - \beta \frac{\partial T}{\partial t} \right) \quad (15)$$

(g)

(h)

สมการความดันรวม (Total pressure equation)

$$\gamma \frac{\partial p}{\partial t} - \delta \frac{\partial x_l}{\partial t} - \eta \frac{\partial T}{\partial t} = -\nabla \cdot (D_{xv} \cdot \nabla x_l + D_{Tv} \cdot \nabla T + D_{pa} \cdot \nabla p) \quad (16)$$

ในสมการส่งถ่ายมวลความชื้นเทอม (a) แสดงถึงอัตราการเปลี่ยนแปลงเชิงเวลาของมวลความชื้นที่ภายใต้สภาวะการอบแห้ง เทอม (b) และ (c) แสดงถึงความหนาแน่นของพลักซ์ซึ่งมวลรวม (total mass flux density) นึ่งจากเกรเดียโนของความดันแคนบีลาร์ และเกรเดียโนของความดันย่อของอุ่นน้ำเทอม (d) และ (e) แสดงถึงความหนาแน่นของพลักซ์ซึ่งมวลรวมนึ่งจากเกรเดียโนของความดันรวมในของไหลดสถานะก้าช และนึ่งจากอิทธิพลของแรงโน้มถ่วง พิจารณาเทอม (f) และ (g) ในสมการส่งถ่ายพลังงานนี้ที่คือเทอมของการถ่ายเทความร้อนโดยการพวยของไหลดในสถานะของเหลวและก้าชตามลำดับ ในขณะที่เทอม (h) แสดงถึงแหล่งรับพลังงานที่เกิดขึ้นนึ่งจากกระบวนการระเหยตัว สำหรับการเปลี่ยนแปลงของความดันรวมเทียบกับเวลาและขึ้นอยู่กับการเปลี่ยนแปลงของอุณหภูมิเทียบกับเวลา การเปลี่ยนแปลงของสถานะเทียบกับเวลา และความหนาแน่นของพลักซ์ซึ่งมวล

ในสมการ (14) (15) และ (16) ในที่นี้

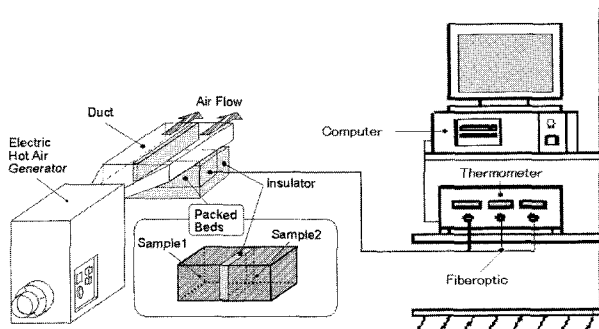
$D_x = D_{xl} + D_{xv}$ ;  $D_T = D_{Tl} + D_{Tv}$ ;  
 $D_p = D_{pl} + D_{pv}$ ;  $D_{pa}, D_{pg}$  และ  $D_g$  ก็คือสัมประสิทธิ์การกระจายเชิงมวลที่สภาวะอุณหภูมิกคงที่ (isothermal mass diffusivity coefficient) สัมประสิทธิ์การเคลื่อนตัวของอุณหภูมิ (thermomigration coefficient) และสัมประสิทธิ์การแพร่กระจายตัวเชิงมวล (mass diffusivity coefficient) นึ่งจากเกรเดียโนของความดันรวมและแรงโน้มถ่วง ตามลำดับ ค่าสัมประสิทธิ์เหล่านี้รวมทั้ง  $\alpha, \beta, \gamma, \delta$  และ  $\lambda$  จะเป็นพึ่งค์ตัวของ  $K_h, K_{rg}, p_c, D, \varphi$  และคุณสมบัติเชิงอุณหภูมิของไหลดสถานะต่างๆ เช่น  $\mu_l, \mu_g, \rho_l$  และ  $\rho_g$  เป็นต้น และค่าเหล่านี้ยังขึ้นอยู่กับพารามิเตอร์  $x_l, T$  และ  $p$  อย่างไรก็ตามค่าเหล่านี้จะต้องหาให้ได้ก่อนหากเป็นการวิเคราะห์โดยอาศัยการเมบิวิชคำนวนเชิงตัวเลข สำหรับรายละเอียดของค่าสัมประสิทธิ์ต่างๆ ที่ปรากฏอยู่ในสมการ

(14)-(16) ก็ได้แสดงรายละเอียดไว้ในภาคผนวกของบทความวิจัยในฉบับนี้

รูปที่ [2] แสดงถึงไดอะแกรมของระบบการทดลองกระบวนการอบแห้งวัสดุพรุนในห้องปฏิบัติการจริง ในที่นี้แหล่งพลังงานที่จะต้องบ่อน้ำไปให้กับวัสดุในกระบวนการ จะต้องอาศัยพลังงานความร้อนในรูปแบบการนำและพาหที่ได้จากการผ่านสารทำงานที่มีอุณหภูมิสูง เช่น ลมร้อน(หรือไอน้ำ) ไปบนผิวหน้าของวัสดุเพื่อมาช่วยในการระเหยความชื้นออกจากตัววัสดุอย่างไรก็ตามการที่จะทำให้กระบวนการมีประสิทธิภาพมากน้อยแค่ไหนก็ขึ้นอยู่กับการควบคุมพารามิเตอร์ที่สำคัญที่มีส่วนในการ

ควบคุมกระบวนการ ห้องนี้ก็ขึ้นอยู่กับประสบการณ์ของผู้ที่เกี่ยวข้องด้วย

ในการดำเนินการแห้งตัวและหรือการกระจายตัวของความชื้นภายในวัสดุ การคำนวณที่พร้อมกันของระบบสมการทั้งหมดที่ควบคุมปราฏภารณ์การอบแห้งจะต้องกระทำโดยอาศัยระบบวิธีคำนวณเชิงตัวเลข (numerical calculation) อย่างไรก็ตามการให้ข้อมูลฐานเพิ่มเติมในระบบที่จะทำการวิเคราะห์ ย่อมทำให้การคำนวณมีความสะดวกยิ่งขึ้น โดยทั้งนี้ค่าความคลาดเคลื่อนที่ได้ จากการคำนวณจะต้องอยู่ในกรวงที่ยอมรับได้ด้วย



รูปที่ 2 ไดอะแกรมของระบบการทดลองกระบวนการอบแห้งวัสดุพรุน (Ratanadecho et al. [4])

#### 4. กรณีศึกษากระบวนการอบแห้งในวัสดุพรุนแบบแคปิลารี่

เมื่อเรามาทำการพิจารณาถึงโครงสร้างวัสดุพรุนที่ไม่มีตัวซึ่งในที่นี้ถือว่าอนุภาคของแข็ง (solid matrices) ไม่มีการถูกซึมเข้าหรือความชื้น หรือเราอาจเรียกวัสดุพรุนชนิดนี้ว่า วัสดุพรุนแบบไม้ชื้นมาก (nonhygroscopic porous media) หรือวัสดุพรุนแบบแคปิลารี่ (capillary porous media) ดังที่ได้เคยอธิบายไว้ในบทความที่ผ่านมา (ผดุงศักดิ์ [1]) วัสดุพรุนแบบไม้ชื้นมากหรือวัสดุพรุนแบบ

แคปิลารี่นี้ ของเหลวจะเคลื่อนตัวไปตามช่องว่างที่เกิดขึ้นจากส่วนประกอบของผิวอนุภาคของแข็งเท่านั้นโดยไม่มีการเคลื่อนตัวของความชื้นภายในอนุภาคของแข็ง ดังนั้นในการวิเคราะห์กรณีนี้จะไม่คำนึงถึงแรงยึดเหนี่ยวยกระหว่างความชื้นกับโครงสร้างของอนุภาคของแข็งภายใต้พันธะทางเคมีและพิสิกอล์ฟ (ในกรณีที่มีการเคลื่อนตัวของความชื้นภายในอนุภาคของแข็ง

เราจะเรียกวัสดุพรุนชนิดนี้ว่า วัสดุพรุนแบบชื้นมาก (hygroscopic porous media))

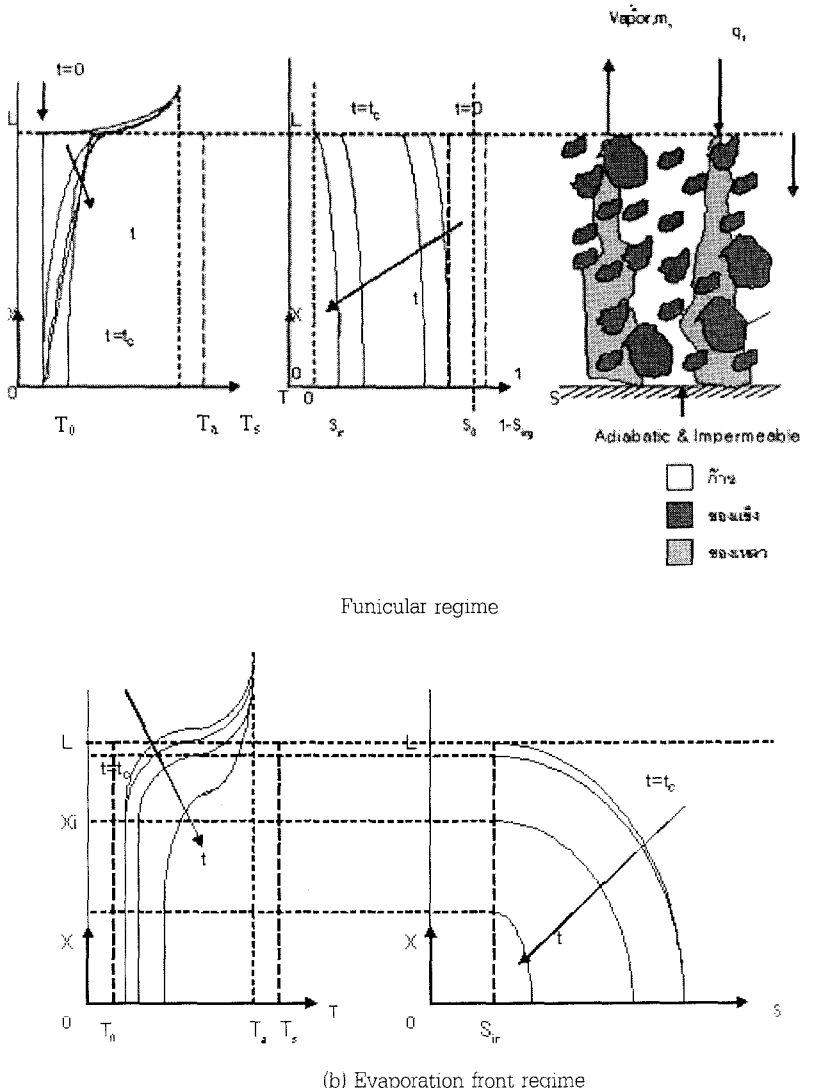
เมื่อพิจารณาของวัสดุตัวอย่างตัวนี้ได้ตัวนหนึ่งซึ่งผสานกับอากาศร้อนที่ป้อนเข้ามา โดยในที่นี้ถือว่าอุณหภูมิตำแหน่งต่างๆ ภายในวัสดุตัวอย่างต้องไม่เกินอุณหภูมิจุดเดือด ( $T(x) < T_s(Pg)$ ) เป็นผลทำให้ของเหลวภายในวัสดุจะเคลื่อนตัวออกจากวัสดุตัวอย่างปกติการถ่ายเทมหาสารในวัสดุพรุนในกระบวนการอบแห้งปกติจะแบ่งออกเป็นสองรูปแบบ ในรูปแบบแรก ของเหลวในสถานะของเหลวและไอจะอยู่ภายใต้สภาพสมดุลทางเทอร์โมไดนามิกส์ (สภาพสมดุลนี้จะอยู่ภายใต้อิทธิพลของเส้นขอบโค้งของอนุภาคของแข็ง) ภายใต้วัสดุพรุน รูปแบบดังกล่าวเราระบุว่า funicular regime ห้องนี้จะระบายไอลภภัยในวัสดุพรุนมีลักษณะการไหลเป็นสองสถานะ (two-phase flow) เมื่อวิเคราะห์ที่ในเชิงจุลภาคพบว่าของเหลวทั้งสองสถานะจะเคลื่อนตัวพร้อมกันผ่านช่องทางการไหลที่มีลักษณะเป็นรูพูน โดยก้าซ

เคลื่อนตัวอยู่ในแกนกลาง ระยะของเหลวจะเคลื่อนตัวรอบนอกของก๊าซเป็นลักษณะแหวน สำหรับส่วนประกอบของผังของอนุภาคของเชิงจะทำหน้าที่เป็นช่องทางการการเคลื่อนตัวของของเหลว (ซึ่งจำเป็นจะต้องมีพื้นที่หน้าตัดคงที่) ซึ่งอยู่บนจากจากการทดลองและสังเกตวุฒิแบบการเคลื่อนตัวของของเหลวพบว่า ก๊าซและของเหลวจะเคลื่อนตัวในลักษณะเป็นเน็ตเวิร์กของช่องทางการไหล (network of channel) ของเหลวที่เคลื่อนตัวจะอยู่ภายใต้อิทธิพลของเกรเดียนของความดันแคบปีลาร์ และแรงโน้มถ่วงของโลกซึ่งอาจจะเสริมหรือหักดิ่งการเคลื่อนตัวของของเหลว นอกจากนี้การเกิดเกรเดียนของอุณหภูมิภายในวัสดุและการเกิดเกรเดียนของแรงตึงผิว (surface tension) จะทำให้ข้อของเหลวเคลื่อนตัวออกจากผิวที่ได้รับความร้อน (ในพิธีทางตรงกันข้ามกับการเคลื่อนตัวที่อยู่ภายใต้อิทธิพลของความดันแคบปีลาร์) จากที่กล่าวมาข้างต้นสรุปได้ว่า แคบปีลาร์และเทอร์โม-แคบปีลาร์ ถือว่าเป็นแรงสำคัญต่อการเคลื่อนตัวของของเหลวภายในวัสดุพูรุน กระบวนการออบแห้งในคابเวลาหนึ่งที่เรียกว่าคابเวลาอัตราการออบแห้งคงที่ (constant rate period) เมื่อันที่เคยได้อธิบายไว้ในเอกสารวิจัยฉบับก่อน [1]

พบว่าเมื่อของเหลวภายในวัสดุพูรุนเคลื่อนตัวออกจากวัสดุมากขึ้นเมื่อกระบวนการออบแห้งดำเนินไปเรื่อยๆ ทำให้ตัวกรีความอิมตัวของน้ำหรือความชื้นลดลงช่วงวัสดุลดลงเมื่อความอิมตัวที่ตัวแห้งผิวน้ำ (surface saturation) ที่สัมผัสน้ำเหลวแล้วให้ความร้อนที่ลดลงอย่างรวดเร็ว ทั้งนี้เป็นเพราะของเหลวเคลื่อนตัวจากตัวแห้งที่มีตัวกรีความอิมตัวสูงตรงไปยังตัวแห้งที่มีตัวกรีความอิมตัวต่ำๆ (ต่ำกว่า) ภายใต้อิทธิพลของเกรเดียนของตัวกรีความอิมตัว และเข้ากับความต้านทานการเคลื่อนตัวของของ

เหลวจะเพิ่มขึ้นเมื่อตัวกรีความอิมตัวลดลงทำให้ความต้องการการเดินของตัวกรีความอิมตัวต้องเพิ่มมากขึ้น จุดสุดท้ายของ funicular regime จะสังเกตได้จากค่าความอิมตัวที่ผิวลดลงจนถึงค่าความอิมตัวต่ำสุดที่ยอมให้ได้  $t_c$  (irreducible saturation) หรืออาจเรียกว่าค่าความชื้นวิกฤติ (critical moisture content) ช่วงคابเวลาดังกล่าวนี้ ของเหลวที่เคลื่อนตัวไปยังผิวน้ำภายใต้อิทธิพลของความดันแคบปีลาร์ไม่เพียงพอที่จะไปเติมเต็มแผลที่ของเหลวที่เพิ่งหายออกไป ทำให้พิล์มของของเหลวบางๆ ที่เกิดขึ้นที่ผิวน้ำเกิดการแยกตัวในบางจุด ช่วงเวลาที่เกิดเหตุการณ์ดังกล่าวเรียกว่า ช่วงเวลาวิกฤติ (critical time),  $t_c$  ที่คابเวลาสิ้นเชิง หลังจาก  $t_c$  ขั้นของความแห้งจะเริ่มก่อตัวขึ้นที่ผิวน้ำที่รับความร้อนพร้อมกับอัตราการแห้งจะลดลง หลังคابเวลาที่นี้ความแห้งเกิดขึ้น ขอบเขตรอยต่อที่เคลื่อนที่ (moving interface) จะเริ่มเกิดขึ้นโดยที่ผิวน้ำของวัสดุจะแห้งตัวอย่างสมบูรณ์ และอุณหภูมิที่ทำแห้งนั้นจะเพิ่มขึ้นอย่างรวดเร็ว และความร้อนจะถูกส่งผ่านเข้าไปในเนื้อวัสดุซึ่งเป็นผลทำให้ขอบเขตรอยต่อเคลื่อนที่จะเคลื่อนที่ลีกลงไปในชั้นวัสดุ การถ่ายเทมวลสารในรูปแบบนี้เรียกว่า evaporation front regime หรือ pendular stage และกระบวนการออบแห้งในคابเวลาหนึ่งที่เรียกว่าคابเวลาอัตราการออบแห้งที่ลดลง (falling rate period) เมื่อันที่เคยได้อธิบายไว้ในเอกสารวิจัยฉบับก่อนแห้งแล้ง [1]

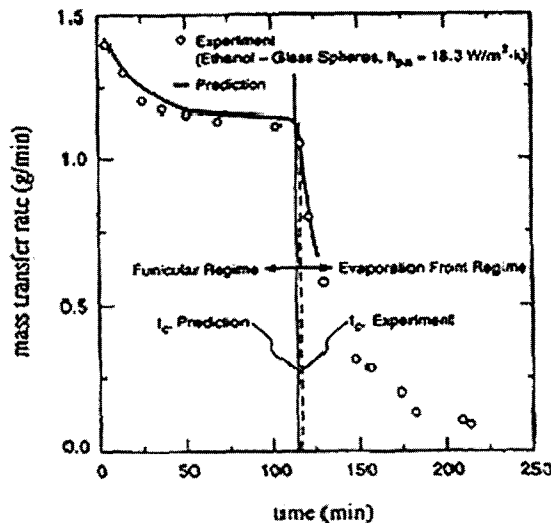
สำหรับรูปที่ 3 แสดงถึงไดอะแกรมกระบวนการออบแห้งทั้งหมดโดยแสดงในรูปจลน์ศาสตร์ของตัวกรีความอิมตัวและอุณหภูมิในระหว่างกระบวนการออบแห้งวัสดุพูรุน



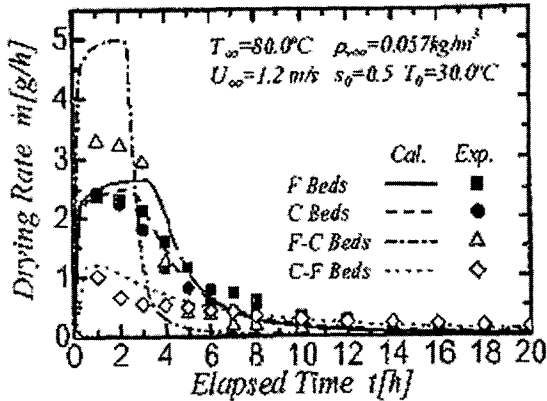
รูปที่ 3 ไดอะแกรมของกระบวนการอุบแห้งวัสดุพูนแบบแคบปิลารี

ตัวอย่างงานวิจัยเด่นๆ ที่เคยได้ตีพิมพ์ในช่วงที่ผ่านมาซึ่งมีการเปรียบเทียบกันระหว่างการทดลองกับผลการคำนวนเชิงทฤษฎี ซึ่งงานวิจัยที่กล่าวมานี้ก็คือการวิเคราะห์เมื่อนดังได้แสดงไว้ในบทความวิจัย [1] และบทความลับนี้ ทั้งนี้เพื่อทำให้ผู้อ่านได้เห็นถึงภาพรวมของการวิจัยในศาสตร์การถ่ายเทความร้อนและมวลสารในกระบวนการอุบแห้งวัสดุพูนในระดับพื้นฐาน

รูปที่ 4 แสดงความสัมพันธ์ระหว่างอัตราการถ่ายเทมวลสารเทียบกับค่าเวลาที่เปลี่ยนไป จากผลที่ได้เห็นได้ชัดเจนว่ารูปแบบของกระบวนการสามารถแบ่งออกเป็นสองรูปแบบเมื่อนดังได้อธิบายไว้ในข้างต้น พบว่าในค่าเวลาที่เกิด evaporation front regime อัตราการถ่ายเทมวลสารจะลดลงอย่างรวดเร็วเมื่อเทียบกับค่าเวลาที่เกิด funicular regime ซึ่งเหตุผลของการเกิดปรากฏการณ์ดังกล่าวมีได้อธิบายไว้ในข้างต้นแล้ว เช่นกัน



รูปที่ 4 ความสัมพันธ์ระหว่างอัตราการถ่ายเทนวลสารเทียบกับเวลาที่เปลี่ยนไป



รูปที่ 5 ความสัมพันธ์ระหว่างอัตราการถ่ายเทนวลสารเทียบกับเวลาที่เปลี่ยนไป ที่สภาวะต่างๆขณะ  
ขณะมีการอบแห้งเพคเบดวัสดุพรุนที่มีหลัก (Ratanadecho [4])

รูปที่ 5 แสดงความสัมพันธ์ระหว่างอัตราการถ่ายเทนวลสารเทียบกับเวลาที่เปลี่ยนไปขณะมีการอบแห้งเพคเบดวัสดุพรุนที่มีหลักที่โดยคำนึงถึงผลของขนาดอนุภาคของแข็ง ลักษณะการเรียงตัวของโครงสร้างชั้นเพคเบด ที่มีอิทธิพลต่อจลนศาสตร์ของกระบวนการอบแห้ง เช่น อัตราการถ่ายเทนวลสาร พนบวเพคเบด

ที่มีส่วนประกอบของอนุภาคของแข็งขนาดเล็กมีผลทำให้อัตราการถ่ายเทนวลสารเพิ่มขึ้นเมื่อเทียบกับอนุภาคของแข็งที่มีขนาดใหญ่ที่คานเวลาเดียวกัน ทั้งนี้ เพราะอนุภาคของแข็งขนาดเล็กย่อมมีอิทธิพลของความต้านแคนปิลารีมาก ในขณะเดียวกัน

ลักษณะการเรียงตัวของโครงสร้างชั้นเพคบุเดก์มีอิทธิพลต่ออัตราการถ่ายเทมาลสารเข่นกัน

จากผลที่ได้จากการศึกษาทั้งสองด้านอย่างนิจยังข้างบนนี้ พบว่าค่าที่ได้จากการทำนายจากแบบจำลองทางคณิตศาสตร์ สอดคล้องกับค่าที่ได้จากการทดลองจริง ซึ่งเป็นการยืนยันได้ว่า หากมีการพัฒนาแบบจำลองทางคณิตศาสตร์ที่มีประสิทธิผลสูง ย่อมก่อให้เกิดองค์ความรู้ใหม่ๆ ในกระบวนการที่จะศึกษานอกเหนือผลลัพธ์ที่ได้จากการทดลองเพียงอย่างเดียว

## 5. สรุป

เพื่อที่จะพัฒนาแบบจำลองทางคณิตศาสตร์พื้นฐานของกระบวนการอบแห้งให้สำเร็จและสอดคล้องกับปัญหานั้น ๆ ขั้นตอนต่อไปนี้เป็นสิ่งที่พึงกระทำ

5.1 ความต้านทานในแต่ละภาระจะต้องทำการพิจารณา (พลังงาน&มวล , ภายใน & ภายนอก) ความต้านทานภายนอก จะทำหน้าที่ควบคุมกระบวนการอบแห้งโดยที่ไม่ต้องเพ่งพากเพรา ความร้อนแบบบังคับ กรณีที่มีการอบแห้งวัสดุที่มีความชื้นสูงจะต้องควบคุมอัตราพลังงานที่ป้อนให้ (constant rate drying) อย่างไรก็ตามกระบวนการอบแห้งซึ่งควบคุมโดยความต้านทานภายใน ค่า (falling rate period) porosity จะมีอิทธิพลสำคัญ ต่อความต้านทานเชิงพลังงานและการถ่ายเทมาล วัสดุที่มีค่า porosity ต่ำๆ (dense solid) จะมีค่าอัตราการถ่ายเทมาลต่ำ ในขณะที่อัตราการถ่ายเทพลังงานจะมีค่าสูง ตรงกันข้ามวัสดุที่มีค่า porosity สูงจะมีค่าอัตราการถ่ายเทมาลสูงแต่อัตราการถ่ายเทพลังงานต่ำ

5.2 หากความต้านทานของการถ่ายเทมาลสารภายในควบคุมกระบวนการอบแห้ง กลไกภายในของการเคลื่อนตัวของความชื้นจะต้องพิจารณา (การแพร่กระจาย diffusion) แรงดันแคปปิลารี (capillary force) การไหลทั้งก้อน (bulk flow))

ในการพัฒนาแบบจำลองทางคณิตศาสตร์สำหรับกระบวนการอบแห้งในสัดพูรุนนั้นเราจำเป็นที่จะต้องทราบกลไกที่สำคัญทั้งหมดที่เกิดขึ้นในกระบวนการ สำหรับในสัดพูรุนแบบแคปปิลารีนั้น ปกติอิทธิพลของความต้านแรงแคปปิลารีที่มีต่อการเคลื่อนตัวของเหลวจะมีมากเมื่อวัสดุมีความชื้นสูง ในขณะที่การแพร่กระจายของไอ (vapor diffusion) หรือการเดินของความดันไอจะมีอิทธิพลสูงที่สุดมีความชื้นต่ำๆ หรือปานกลาง สิ่ง

ที่สำคัญก็คือการแพร่กระจายของไอจะเพิ่มขึ้นหากค่า porosity อัตราการไหลทั้งก้อนของความชื้นมีค่ามากกว่าอัตราการแพร่กระจายหลายเท่า ถ้าหากอุณหภูมิรอบแห้งสูงกว่าอุณหภูมิจุดเดือดของน้ำ (ที่  $100\text{ C}^{\circ}$  ที่ความดันมาตรฐาน หรือ น้อยกว่า  $100\text{ C}^{\circ}$  สำหรับความดันสูญญากาศ) และเช่นกัน porosity ก็มีอิทธิพลต่อการเคลื่อนตัวของมวลความชื้น ผู้ใดได้ว่าการเคลื่อนตัวของมวลสารโดยรวมในระหว่างกระบวนการอบแห้งจะอยู่ภายใต้อิทธิพลของกลไกใดกลไกหนึ่งดังที่กล่าวมาข้างต้น หรืออาจรวมกลไกทั้งสองข้อด้วยกัน

5.3 พัฒนาแบบจำลองทางคณิตศาสตร์ที่ตั้งอยู่บนพื้นฐานของสมมติฐานที่เกี่ยวเนื่องกับโครงสร้างวัสดุพูรุนและเหตุผลทางทฤษฎี ไดนามิกส์ ในอุดมคติ แบบจำลองนี้ควรจะต้องคำนึงถึงข้อจำกัดในทางปฏิบัติ ซึ่งอาจแสดงไว้ในสมมติฐานที่กำหนดขึ้น ( เช่น การคำนึงผลของการทดสอบตัวหรือขยายตัวของวัสดุ (shrinkage) หรือ ผลของการถ่ายเทพลังงานและมวลสาร เป็นต้น )

แม้ว่าที่ผ่านมาจะมีนักวิจัยหลายคนได้เสนอแบบจำลองทางคณิตศาสตร์ในรูปแบบต่างๆ ถึงแม้ว่าแบบจำลองดังกล่าวจะไม่เหมือนกันที่เดียวทั้งหมด แต่แบบจำลองทางคณิตศาสตร์เหล่านั้นจะประกอบไปด้วยสมการหลักๆ ดังนี้ สมการอนุรักษ์ พลังงาน สมการสมดุลมวลสารสำหรับของไอลสถานะของเหลว และกําช สมการโน้มแน่นสำหรับของไอลสถานะของเหลว และกําช สมการทางคณิตศาสตร์ที่ได้พัฒนาขึ้นจากการพัฒนาครั้งนี้จะเป็นจุดเริ่มต้นที่ดีสำหรับการพัฒนาแบบจำลองทางคณิตศาสตร์รูปแบบใหม่สำหรับปัญหาการอบแห้งที่มีความซับซ้อนมากกว่าเดิม

5.4 คุณสมบัติต่างๆ ของวัสดุ ซึ่งเป็นค่าที่จำเป็นต้องใช้ในแบบจำลองจะต้องหาให้ได้ก่อน ( เช่น คุณสมบัติเชิงความร้อน , สัมประสิทธิ์การถ่ายเทมาล , คุณสมบัติเชิงโครงสร้างและคุณสมบัติเชิงอุณหภูมิ ) ปกติค่าคุณสมบัติเหล่านี้หากได้มาจากการทดลอง เช่น การวัดหาค่าสัมประสิทธิ์การถ่ายเทมาลสารที่ผ่านวัสดุตัวอย่าง เป็นต้น

ปัจจุบันมีเทคนิคการวัดสมัยใหม่ เช่น เทคโนโลยี NMR (Nuclear Magnetic Resonance) ซึ่งใช้วัดค่าการกระจายตัวของความชื้นในวัสดุพูรุน สำหรับการวัดค่าสัมประสิทธิ์การซึม

ผ่าน (permeability) ซึ่งเกี่ยวข้องกับกลไกการให้ผลเชิงมวล การใช้ เทคนิค Permeation ก็ถือว่าเหมาะสม

5.5 การหาค่าต่อบนจากแบบจำลองทางคณิตศาสตร์ เนื่องจากความซับซ้อนของระบบสมการในการอบแห้ง ตั้งแต่การหาค่าตอบจึงอาศัยระเบียบวิธีเชิงตัวเลข ซึ่งมีหลายวิธีที่นิยมใช้กัน เช่น วิธีไฟฟ์เนอร์ดิฟเฟอเรนซ์ (FDM) และวิธีไฟฟ์เนอร์อลิเมนต์ (FEM) เป็นต้น

5.6 ผลทำนายจากแบบจำลองทางคณิตศาสตร์จะต้องผ่านการตรวจสอบ วิธีหนึ่งซึ่งเป็นวิธีใหม่สำหรับตรวจสอบความแม่นยำ แบบจำลองทางคณิตศาสตร์ในปัจจุบันการอบแห้ง คือวิธี NMR ในทำงองเดียวกัน การวัดค่าการกระจายตัวของความชื้นในสัตว์อย่างในระหว่างกระบวนการอบแห้งที่แม่นยำ ก็จะเป็นส่วนเสริมทำให้แบบจำลองทางทฤษฎีมีความถูกต้องยิ่งขึ้น

## 6. ภาคผนวก

$$\begin{aligned}
 D_{xl} &= \frac{\kappa_1 g}{v_1} \left( \frac{\partial \psi}{\partial x_1} \right); \quad D_{Tl} = \frac{\kappa_1 g}{v_1} \left( \frac{\partial \psi}{\partial T} \right) \frac{\rho_1}{\rho_0}; \quad D_g = \frac{\kappa_1 \rho_1 g}{\rho_0 v_1} \\
 D_{xv} &= D^* \frac{\rho_g}{\rho_0} \frac{\partial}{\partial x_1} \left( \frac{\rho_v}{\rho_g} \right); \quad D_{Tv} = D^* \frac{\rho_g}{\rho_0} \frac{\partial}{\partial T} \left( \frac{\rho_v}{\rho_g} \right); \quad D_{pl} = \frac{1}{\rho_0} \frac{\kappa_1}{v_1} \\
 D_{pv} &= \frac{1}{\rho_0} \left( \frac{\kappa_g \rho_v}{v_g \rho_g} \right) + D^* \frac{\rho_g}{\rho_0} \frac{\partial}{\partial p} \left( \frac{\rho_v}{\rho_g} \right); \quad D_p = \frac{1}{\rho_0} \left( \frac{\kappa_g \rho_v}{v_g \rho_g} + \frac{\kappa_1}{v_1} \right) + D^* \frac{\rho_g}{\rho_0} \frac{\partial \left( \frac{\rho_v}{\rho_g} \right)}{\partial p} \\
 D_{pg} &= \frac{1}{\rho_0} \frac{\kappa_g}{v_g}; \quad D_{pa} = \frac{1}{\rho_0} \left( 1 - \frac{\rho_v}{\rho_g} \right) \frac{\kappa_g}{v_g} - D^* \frac{\rho_g}{\rho_0} \frac{\partial \left( \frac{\rho_v}{\rho_g} \right)}{\partial p} \\
 \alpha &= \frac{D_{xv} \left( \varepsilon - \frac{\rho_0}{\rho_1} x_1 \right)}{D^* \frac{p}{p - p_v}} - \frac{\rho_v}{\rho_1} \\
 \beta &= \frac{\rho_0}{\rho_1} \left( \varepsilon - \frac{\rho_0}{\rho_1} x_1 \right) \left( \frac{D_{Tv}}{D^* \frac{p}{p - p_{vs}}} - \frac{1}{T} \frac{\rho_v}{\rho_0} \right) \\
 \gamma &= \frac{M_a}{\rho_0 R T} \left( \varepsilon - \frac{\rho_0}{\rho_1} x_1 \right) \delta = \frac{M_a}{\rho_0 R T} \left( \varepsilon - \frac{\rho_0}{\rho_1} x_1 \right) \left( \frac{\partial p_v}{\partial x_1} + \frac{\rho_0}{\rho_1 \left( \varepsilon - \frac{\rho_0}{\rho_1} x_1 \right)} (p - p_v) \right) \\
 \lambda &= \frac{M_a}{\rho_0 R T} \left( \varepsilon - \frac{\rho_0}{\rho_1} x_1 \right) \left( \frac{\partial p_v}{\partial T} + \frac{p - p_v}{T} \right)
 \end{aligned}$$

### สัญลักษณ์

$C_p$	specific heat [ $\text{J kg}^{-1} \text{K}^{-1}$ ]
$d$	grain size [m]
$D^*$	diffusion coefficient of water vapor in air [ $\text{m}^2 \text{s}^{-1}$ ]
$D$	isothermal mass diffusivity coefficient [ $\text{m}^2 \text{s}^{-1}$ ]
$D_T$	thermodiffusion coefficient [ $\text{m}^2 \text{s}^{-1} \text{K}^{-1}$ ]
$D_g$	gravity mass transport coefficient [ $\text{m}^2 \text{s}^{-1}$ ]
$D_p$	pressure mass transport coefficient [ $\text{m}^2 \text{s}^{-1}$ ]
$E$	radiant intensity [W]
$g$	gravity [ $\text{m s}^{-2}$ ]
$J$	mass flux density [ $\text{kg m}^{-2} \text{s}^{-1}$ ]
$K_i$	effective permeability [ $\text{m}^2$ ]
$K_r$	relative permeability [-]
$g$	gravity [ $\text{ms}^{-2}$ ]
$U$	velocity [ $\text{ms}^{-1}$ ]
$M$	molar mass [ $\text{kg mol}^{-1}$ ]
$p$	pressure [ $\text{N m}^{-2}$ ]
$q$	heat flux [ $\text{W m}^{-2}$ ]
$r$	pore radius [m]
$R$	universal gas constant [ $\text{J mol}^{-1} \text{K}^{-1}$ ]
$T$	temperature [K]
$x$	moisture content [ $\text{kg kg}^{-1}$ ]
$x, y, z$	coordinate [m]
<i>Greek symbols</i>	
$\alpha, \beta, \gamma, \delta, \lambda$	coefficients in the equations [-] or [ $\text{K}^{-1}$ ]
$\delta$	thermogravitational gradient [ $\text{K}^{-1}$ ]
$\epsilon$	porosity [-]
$\theta$	volumetric moisture content [-]
$\rho$	density [ $\text{kg m}^{-3}$ ]
$\mu$	dynamic viscosity [ $\text{Ns m}^{-2}$ ]
$\lambda$	apparent thermal conductivity ( $\text{W m}^{-1} \text{K}^{-1}$ )
$\phi$	heat flux density [ $\text{W m}^{-2}$ ]
$\varphi$	relative humidity [-]
<i>Subscripts</i>	
$0$	initial value
$a$	air

c capillary

g gas

l liquid

v vapor

vs saturated vapor

### เอกสารอ้างอิง

- [1] การวิเคราะห์กระบวนการอบแห้งในวัสดุพูน (I หลักการเบื้องต้นของการถ่ายเทความร้อนและมวลสารในกระบวนการอบแห้งวัสดุ พูน), วารสารวิทยาศาสตร์และเทคโนโลยี(ภาษาไทย) มหาวิทยาลัยธรรมศาสตร์
- [2] Whitaker, S., "A Theory of Drying in Porous Media," *Adv. Heat Transfer*, 13, pp. 119-203, 1977.
- [3] Whitaker, S. and Chou, W.T.H., "Drying Granular Porous Media: Theory and Experiment," *Drying Technology J.*, 1, pp. 3-33, 1983.
- [4] Ratanadecho, P., "Drying of Layered Packed Beds. The 6th ASME-JSME Thermal Engineering Joint Conference" Hawaii, U.S.A., 16-20 March 2003
- [5] Philip, J.R. and DeVries, D.E., "Moisture Movement in Porous Materials Under Temperature Gradient," *Trans. Am. Geophys. Union.*, 38, pp. 222-237, 1957.
- [6] Luikov, A.V., "Heat and Mass Transfer in Capillary Porous Bodies," Pergamon Press, New York, 1966.
- [7] Sherwood, T.K., "The of Drying of solids," *J. Ind. Engng Chem.*, 22, pp. 132-136, 1930.
- [8] Cealgske, N.H. and Hougen, O.A., "Drying of Granular solids," *J. Ind. Engng Chem.*, 29, pp. 805-813, 1937.
- [9] Harmathy, T.Z., "Simultaneous Moisture and Heat Transfer in Porous Systems with Particular Reference to Drying," *J. Ind. Engng Chem.*, 8, pp. 92-103, 1969.

- [10] Huang, C.L.D, "Multi-Phase Moisture in Porous Media Subjected to Temperature Gradient," *Int. J. Heat and Mass Transfer*, 22, pp.1295-1307, 1979.
- [11] Mikhailov, M.D, "Exact Solution of Temperature and Moisture Distributions in a Porous Half Space with Moving Evaporation Front," *Int. J. Heat and Mass Transfer*, 18, pp. 797, 1975.
- [12] Lewis, R.W., Strada, M. and Comini, G., "Drying Induced Stress in Porous Bodies," *Int. J. Numer. Methods Eng.*, 11, pp. 1175, 1977.
- [13] Wei, C.K., Davis, H.T., Davis, E.A. and Gordon, J., "Heat and Mass Transfer in Water-Laden Sand Stone: Convective Heating," *AIChE J.*, 31, pp. 842-848, 1985.
- [14] Plumb, O.B., Spolek, G.A. and Olmstead, B.A., "Heat and Mass transfer in wood During Drying," *Int. J. Heat and Mass Transfer*, 28, pp. 1669-1678, 1985.
- [15] Lewis, R.W. and Ferguson, W.J., "The Effect of Temperature and Total Gas Pressure on The Moisture Content in a Capillary Porous Body," *Int. J. Numer. Methods Eng.*, 29, pp. 357-369, 1990.
- [16] Stanish, M.A., Schager, G.S. and Kayihan, F., "A Mathematical Model of Drying for Hygroscopic Porous media," *AIChE J.*, 32, pp. 1301-1311, 1986.
- [17] Bories, S.A., "Fundamental of Drying of Capillary-Porous Bodies," in Kakac, S., Kilkis, B., Kulacki, F. and Arinc, F. (Ed.), *Convective Heat and Mass Transfer in Porous Media*, NATO ASI series, Vol. 196. Kluwer Publishers, pp. 391-434, 1991.
- [18] Moyne, C. and Degiovanni, A., "Importance of the Gas Phase Momentum Equation in Drying Above the Boiling Point of Water," *Proc. 4th Int. Drying Symp.*, Kyoto, pp. 119-125, 1984.
- [19] Ben Nasrallah, S. and Perre, P., "Detailed Study of a Model of Heat and Mass Transfer During Convective Drying of Porous Media," *Int. J. Heat and Mass Transfer*, 31, pp. 957-967, 1988.
- [20] Kaviany, M. and Mittal, M., "Funicular State in Drying of Porous Slab," *Int. J. Heat and Mass Transfer*, 30, pp. 1407-1418, 1987.
- [21] Rogers, J.A. and Kaviany, M., "Funicular and Evaporative-Front Regimes in Convective Drying of Granular Beds," *Int. J. Heat and Mass Transfer*, 35, pp. 469-479, 1992.
- [22] Ilic, M. and Turner, W., "Convective Drying of a Consolidated Slab of Wet Porous Material," *Int. J. Heat and Mass Transfer*, 32, pp. 2351-2362, 1989.
- [23] Kaviany, M., "Principle of Heat transfer in Porous Media," Springer, New York, 1991.
- [24] Mujumdar, A.S. (Ed.), "Handbook of Industrial Drying," 2nd Edition, Marcel Dekker, New York, 1995.
- [25] Ratanadecho, P., Aoki, K. and Akahori, M., "Experimental and Numerical Study of Microwave Drying in Unsaturated Porous Material," *Int. Commun. Heat Mass Transfer*, Vol. 28 (5), pp. 605-616, 2001.
- [26] Ratanadecho, P., Aoki, K. and Akahori, M., "A Numerical and Experimental Investigation of the Modeling of Microwave Drying Using a Rectangular Wave Guide," *Journal of Drying Technology*, Vol. 19(9), pp. 2209- 234, 2001.
- [27] Ratanadecho, P., Aoki, K. and Akahori, M., "Influence of Irradiation Time, Particle Sizes and Initial Moisture Content During Microwave Drying of Multi-Layered Capillary Porous Materials," *ASME J. Heat Transfer*, Vol. 124 (1), pp. 151-161, 2002.